

Lösung zu den Übungsunterlagen zur Vorlesung

ELEKTROENERGIESYSTEME

Aufgaben 1 bis 16

Version 1.0 / (17.04.2014)

Anpassungen im Vergleich zur Vorgängerversion:

—

Aufgabe 1: Magnetischer Kreis mit Luftspalt

Generell: Durchflutung Θ entspricht der magnetischen Spannung.
Fluss Φ entspricht dem magnetischen Strom.
 $R_M = \frac{\Theta}{\Phi}$ entspricht dem magnetischen Widerstand.

Es gilt im Allgemeinen:

$$\begin{aligned} \int_{A_w} J(t) dA &= w \cdot i_1(t) = \Theta = \oint_C H(t) ds \\ &= \sum_i H_{Fe,i} \cdot l_i + H_{Luft} \cdot \delta \\ &= \sum_i B_{Fe,i} \cdot \frac{l_i}{\mu_0 \mu_{r,i}} + B_{Luft} \cdot \frac{\delta}{\mu_0} \end{aligned}$$

Annahme: Feld homogen $\Rightarrow \Phi = B \cdot A$

$$\Theta = \sum_i \Phi_{Fe,i} \cdot \underbrace{\frac{l_i}{\mu_0 \mu_{r,i} A_{Fe,i}}}_{R_{m,Fe,i}} + \Phi_{Luft} \cdot \underbrace{\frac{\delta}{\mu_0 A_{Luft}}}_{R_{m,Fe,i}}$$

1. a) Berechnung der magnetischen Widerstände

$$A_1 = d_1 \cdot b = 2 \text{ cm}^2 = A_{Luft}$$

$$A_2 = d_2 \cdot b = 4 \text{ cm}^2$$

$$A_3 = d_3 \cdot b = 2 \text{ cm}^2$$

$$R_{m1} = \frac{l_1}{\mu_0 \mu_r A_{Fe,1}} = 39788,74 \frac{\text{A}}{\text{Vs}}$$

$$R_{m2} = \frac{l_2}{\mu_0 \mu_r A_{Fe,3}} = 119366,21 \frac{\text{A}}{\text{Vs}}$$

$$R_{m3} = \frac{2l_1 + \delta}{\mu_0 \mu_r A_{Fe,2}} = 41778,17 \frac{\text{A}}{\text{Vs}}$$

$$R_{m4} = \frac{\delta}{\mu_0 A_{Fe,1}} = 7957747,15 \frac{\text{A}}{\text{Vs}}$$

1. b) Berechnung der Windungszahl N

$$N \cdot j_{Cu} \cdot A_{Cu} = \sum_i \Phi_{Fe,i} \cdot R_{m,i} + \Phi_{Luft} \cdot R_{m,Luft}$$

$$\text{mit } A_{Cu} = \pi \cdot \left(\frac{d}{2}\right)^2 = 0,7854 \text{ mm}^2$$

$$\begin{aligned} N &= \frac{1}{j_{Cu} \cdot A_{Cu}} \left(\sum_i \Phi_{Fe,i} \cdot R_{m,i} + \Phi_{Luft} \cdot R_{m,Luft} \right) \\ &= \frac{2\Phi_1 \cdot R_1 + 2\Phi_2 \cdot R_{m,2} + \Phi_3 \cdot R_{m,3} + \Phi_{Luft} \cdot R_{m,Luft}}{j_{Cu} \cdot A_{Cu}} \end{aligned}$$

mit $\Phi_1 = \Phi_2 = \Phi_3 = \Phi_{Luft}$ folgt:

$$N = \frac{B_{Luft} \cdot A_1}{j_{Cu} \cdot A_{Cu}} (2R_{m,1} + 2R_{m,2} + R_{m,3} + R_{m,Luft}) = 141,2$$

1. c) **Zusammenhang zwischen der Induktion, Stromdichte, Leiterquerschnitt, Windungszahl und Geometrieparametern**

$$N = \frac{B_{Luft} \cdot d_1 b}{j_{Cu} \cdot A_{Cu}} \left(2 \frac{l_1}{\mu_0 \mu_r d_1 b} + 2 \frac{l_2}{\mu_0 \mu_r d_3 b} + \frac{2l_1 + \delta}{\mu_0 \mu_r d_2 b} + \frac{\delta}{\mu_0 d_1 b} \right)$$

$$N = \frac{B_{Luft} \cdot d_1}{j_{Cu} \cdot A_{Cu} \cdot \mu_0} \left(\frac{2l_1}{\mu_r d_1} + \frac{2l_2}{\mu_r d_3} + \frac{2l_1 + \delta}{\mu_r d_2} + \frac{\delta}{d_1} \right)$$

Aufgabe 2: Magnetischer Kreis mit Verzweigung und Luftspalt

2. a) Ersatzschaltbild des magnetischen Kreises

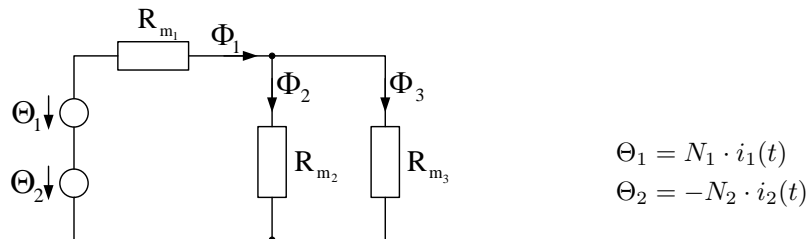


Abbildung 2.1: magnetisches Ersatzschaltbild

$$R_{m1} = \frac{2 \left(\frac{b}{2} - \frac{d}{2} \right) + h - d}{\mu_0 \mu_r d^2} = \frac{b + h - 2d}{\mu_0 \mu_r d^2} = R_{m3} \quad R_{m2} = \frac{h - d}{\mu_0 \mu_r d^2}$$

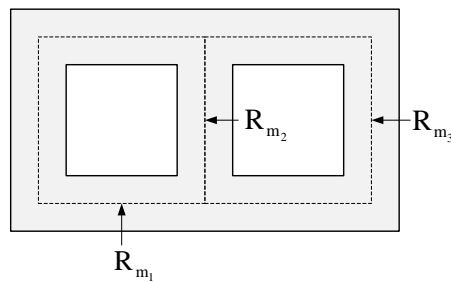


Abbildung 2.2: Elemente des magnetischen Kreises

2. b) Berechnung der magnetischen Flüsse und Induktionen in allen Schenkeln

$$\Theta_{ges} = \Theta_1 + \Theta_2 = N_1 \cdot i_1 - N_2 \cdot i_2$$

$$R_{m2} \parallel R_{m3} = \frac{R_{m2} \cdot R_{m3}}{R_{m2} + R_{m3}} = \frac{(b + h - 2d) \cdot (h - d)}{(\mu_0 \mu_r d^2)^2} \cdot \frac{\mu_0 \mu_r d^2}{(b + h - 2d) + (h - d)}$$

$$= \frac{(b + h - 2d) \cdot (h - d)}{(\mu_0 \mu_r d^2)(b + 2h - 3d)}$$

$$R_{mges} = R_{m1} + \frac{R_{m2} \cdot R_{m3}}{R_{m2} + R_{m3}}$$

$$= \frac{b + h - 2d}{\mu_0 \mu_r d^2} + \frac{b + h - 2d}{\mu_0 \mu_r d^2} \cdot \frac{h - d}{b + 2h - 3d}$$

$$= \frac{b + h - 2d}{\mu_0 \mu_r d^2} \left(1 + \frac{h - d}{b + 2h - 3d} \right)$$

$$\Phi_1 = \frac{\Theta_{ges}}{R_{mges}} = \frac{N_1 \cdot i_1 - N_2 \cdot i_2}{\frac{b+h-2d}{\mu_0 \mu_r d^2} \left(1 + \frac{h-d}{b+2h-3d} \right)}$$

$$\Phi_2 R_{m2} = \Phi_3 R_{m3} \quad \Rightarrow \quad \Phi_2 = \Phi_3 \cdot \frac{R_{m3}}{R_{m2}}$$

$$\Phi_1 = \Phi_2 + \Phi_3 = \Phi_3 \cdot \left(1 + \frac{R_{m3}}{R_{m2}} \right)$$

$$\Phi_3 = \Phi_1 \cdot \frac{h-d}{b+2h-3d}$$

$$= (N_1 \cdot i_1 - N_2 \cdot i_2) \cdot \frac{h-d}{b+2h-3d} \cdot \left(\frac{b+h-2d}{\mu_0 \mu_r d^2} \cdot \frac{b+3h-4d}{b+2h-3d} \right)^{-1}$$

$$= \frac{(N_1 \cdot i_1 - N_2 \cdot i_2) \cdot (\mu_0 \mu_r d^2) \cdot (h-d)}{(b+3h-4d) \cdot (b+h-2d)}$$

$$\Phi_2 = \frac{b+h-2d}{h-d} \cdot \Phi_3 = (N_1 \cdot i_1 - N_2 \cdot i_2) \cdot \frac{\mu_0 \mu_r d^2}{b+3h-4d}$$

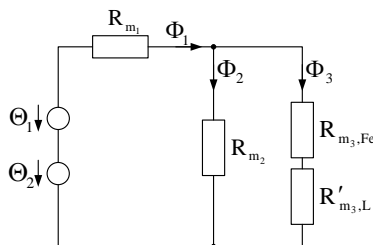
$$B_1 = \frac{\Phi_1}{d^2} = (N_1 \cdot i_1 - N_2 \cdot i_2) \cdot \frac{\mu_0 \mu_r}{b+h-2d} \cdot \left(1 + \frac{h-d}{b+2h-3d} \right)^{-1}$$

$$= (N_1 \cdot i_1 - N_2 \cdot i_2) \cdot \frac{\mu_0 \mu_r}{b+3h-4d} \cdot \frac{b+2h-3d}{b+h-2d}$$

$$B_2 = \frac{\Phi_2}{d^2} = (N_1 \cdot i_1 - N_2 \cdot i_2) \cdot \frac{\mu_0 \mu_r}{b+3h-4d}$$

$$B_3 = \frac{\Phi_3}{d^2} = (N_1 \cdot i_1 - N_2 \cdot i_2) \cdot \frac{\mu_0 \mu_r}{b+3h-4d} \cdot \frac{h-d}{b+h-2d}$$

2. c) Bestimmung der magnetischen Flüsse mit einem Luftspalt im 3. Schenkel



$$R'_{m3,Fe} = \frac{h-\delta-d+b-d}{\mu_0 \mu_r d^2}$$

$$= \frac{b+h-2d-\delta}{\mu_0 \mu_r d^2}$$

$$R'_{m3,L} = \frac{\delta}{\mu_0 d^2}$$

Abbildung 2.3: neues magnetisches Ersatzschaltbild

R_{m1} und R_{m2} siehe a)

$$R'_{m3,Fe} + R'_{m3,L} = \frac{b+h-2d-\delta+\mu_r \delta}{\mu_0 \mu_r d^2} = R'_{m3}$$

$$R_{m2} \parallel R'_{m3} = \frac{(h-d)(b+h-2d-\delta+\mu_r\delta)}{(\mu_0\mu_r d^2)^2} \cdot \frac{\mu_0\mu_r d^2}{(h-d) + (b+h-2d-\delta+\mu_r\delta)}$$

$$= \frac{(h-d)(b+h-2d-\delta+\mu_r\delta)}{\mu_0\mu_r d^2 \cdot (b+2h-3d-\delta+\mu_r\delta)}$$

$$R_{mges} = R_{m1} + R_{m2} \parallel R'_{m3}$$

$$= \frac{b+h-2d}{\mu_0\mu_r d^2} + \frac{(h-d)(b+h-2d-\delta+\mu_r\delta)}{\mu_0\mu_r d^2 \cdot (b+2h-3d-\delta+\mu_r\delta)}$$

$$\Phi_1 = \frac{\Theta_{ges}}{R_{ges}} \quad \text{und} \quad \Phi_1 = \Phi_2 + \Phi_3 = \Phi_3 \left(1 + \frac{R'_{m3}}{R_{m2}} \right) \quad \text{mit} \quad \Phi_2 R_{m2} = \Phi_3 R'_{m3}$$

$$= \Phi_3 \left(1 + \frac{b+h-2d-\delta+\mu_r\delta}{h-d} \right)$$

$$= \Phi_3 \left(\frac{b+2h-3d-\delta+\mu_r\delta}{h-d} \right)$$

$$\Phi_3 = \Phi_1 \cdot \frac{h-d}{b+2h-3d-\delta+\mu_r\delta}$$

$$\Phi_1 = (N_1 \cdot i_1 - N_2 \cdot i_2) \cdot \frac{\mu_0\mu_r d^2}{b+h-2d + \frac{(h-d)(b+h-2d-\delta+\mu_r\delta)}{b+2h-3d+\mu_r\delta-\delta}}$$

$$\Phi_3 = \frac{h-d}{b+2h-3d+\delta(\mu_r-1)} \cdot \frac{(N_1 \cdot i_1 - N_2 \cdot i_2) \mu_0\mu_r d^2}{b+h-2d + \frac{(h-d)(b+h-2d-\delta+\mu_r\delta)}{b+2h-3d+\mu_r\delta-\delta}}$$

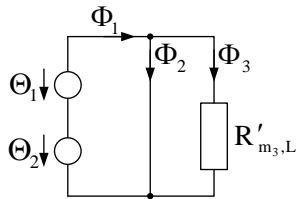
$$= \frac{(N_1 \cdot i_1 - N_2 \cdot i_2) \mu_0\mu_r d^2 (h-d)}{(b+h-2d)(b+2h-3d-\delta+\mu_r\delta) + (h-d)(b+h-2d-\delta+\mu_r\delta)}$$

$$\Phi_2 = \Phi_3 \cdot \frac{R'_{m3}}{R_{m2}} = \frac{(N_1 \cdot i_1 - N_2 \cdot i_2) \mu_0\mu_r d^2 (b+h-2d-\delta+\mu_r\delta)}{(b+h-2d)(b+2h-3d-\delta+\mu_r\delta) + (h-d)(b+h-2d-\delta+\mu_r\delta)}$$

genaue Betrachtung:

$$R'_{m3} = R'_{m3,Fe} + R'_{m3,L} = \frac{b+h-2d-\delta}{\mu_0\mu_r d^2} + \frac{\delta}{\mu_0 d^2}$$

$$\lim_{\mu_r \rightarrow \infty} R'_{m3} = R'_{m3,L} = \frac{\delta}{\mu_0 d^2} \quad ; \quad \lim_{\mu_r \rightarrow \infty} R'_{m1} = \lim_{\mu_r \rightarrow \infty} R'_{m2} = 0$$



Mit zunehmendem μ_r verlagert sich der magnetische Fluss in den mittleren Schenkel. Eine Vergrößerung des Luftspaltes verstärkt diesen Effekt zusätzlich.

Abbildung 2.4: ESB für $\mu_r \rightarrow \infty$

Aufgabe 3: Unsymmetrische Last am Drehstromnetz

3. a) Berechnung des Stromes \underline{I}_M

$$\underline{I}_M = U_Y e^{j\omega t} \left(\underline{Y}_R + \underline{Y}_S e^{-j\frac{2}{3}\pi} + \underline{Y}_T e^{-j\frac{4}{3}\pi} \right) \quad \text{Skript S.39, Gl. 3.38}$$

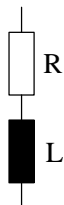
mit $\underline{Y}_R = G$, $\underline{Y}_S = j\omega C$, $\underline{Y}_T = ?$

$$\begin{aligned} \underline{I}_M &= U_Y e^{j\omega t} \left(G + j\omega C \left(-\frac{1}{2} - j\frac{\sqrt{3}}{2} \right) + \underline{Y}_T \left(-\frac{1}{2} + j\frac{\sqrt{3}}{2} \right) \right) \\ &= U_Y e^{j\omega t} \left(G - \frac{1}{2}j\omega C + \frac{\sqrt{3}}{2}\omega C - \frac{1}{2}\underline{Y}_T + j\underline{Y}_T \frac{\sqrt{3}}{2} \right) \end{aligned}$$

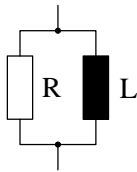
3. b) Bestimmung des Leitwertes, damit der Strom zu Null wird

$$\begin{aligned} \underline{I}_M = 0 &\quad \Rightarrow G - \frac{1}{2}j\omega C + \frac{\sqrt{3}}{2}\omega C = \underline{Y}_T \left(\frac{1}{2} - j\frac{\sqrt{3}}{2} \right) \\ \underline{Y}_T &= \frac{G + \frac{\sqrt{3}}{2}\omega C - j\frac{1}{2}\omega C}{\frac{1}{2} - j\frac{\sqrt{3}}{2}} = \frac{\frac{G}{2} + \frac{\sqrt{3}}{4}\omega C - j\frac{1}{4}\omega C + j\frac{\sqrt{3}}{2}G + j\frac{3}{4}\omega C + \frac{\sqrt{3}}{4}\omega C}{\frac{1}{4} + \frac{3}{4}} \\ &= \left(\frac{G}{2} + \frac{\sqrt{3}}{2}\omega C \right) + j \left(\frac{\sqrt{3}}{2}G + \frac{1}{2}\omega C \right) \end{aligned}$$

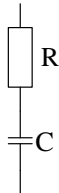
3. c) Mögliche Realisierung des Leitwertes



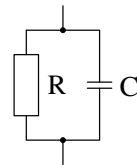
$$\underline{Y} = \frac{1}{R + j\omega L} = \frac{R - j\omega L}{R^2 + (\omega L)^2} \quad \Rightarrow \quad \text{keine Lösung}$$



$$\underline{Y} = \frac{1}{R} - j \frac{1}{\omega L} \Rightarrow \text{keine Lösung}$$



$$\underline{Y} = \frac{1}{R - j \frac{1}{\omega C}} = \frac{R + j \frac{1}{\omega C}}{R^2 + \left(\frac{1}{\omega C}\right)^2} \Rightarrow \text{mögliche Lösung}$$



$$\underline{Y} = \frac{1}{R} + j \omega C \Rightarrow \text{mögliche Lösung}$$

RC-Parallelschaltung: $\frac{1}{R_T} = \frac{G}{2} + \frac{\sqrt{3}}{2} \omega C; \quad \omega C_T = \frac{\sqrt{3}}{2} G + \frac{1}{2} \omega C;$

RC-Reihenschaltung: $\underline{Z}_T = \frac{1}{\underline{Y}_T} = \frac{\left(\frac{G}{2} + \frac{\sqrt{3}}{2} \omega C\right) - j \left(\frac{\sqrt{3}}{2} G + \frac{1}{2} \omega C\right)}{\left(\frac{G}{2} + \frac{\sqrt{3}}{2} \omega C\right)^2 + \left(\frac{\sqrt{3}}{2} G + \frac{1}{2} \omega C\right)^2}$

$$\stackrel{!}{=} R_T - j \frac{1}{\omega C_T}$$

$$\Rightarrow R_T = \frac{\frac{G}{2} + \frac{\sqrt{3}}{2} \omega C}{\left(\frac{G}{2} + \frac{\sqrt{3}}{2} \omega C\right)^2 + \left(\frac{\sqrt{3}}{2} G + \frac{1}{2} \omega C\right)^2}; \quad C_T = \frac{\left(\frac{G}{2} + \frac{\sqrt{3}}{2} \omega C\right)^2 + \left(\frac{\sqrt{3}}{2} G + \frac{1}{2} \omega C\right)^2}{\omega \left(\frac{\sqrt{3}}{2} G + \frac{1}{2} \omega C\right)};$$

3. d) Spannung bei geschlossener Verbindung

$$\underline{U}_{NM} = U_Y e^{j \omega t} \frac{\underline{G}_R + \underline{G}_S e^{-j \frac{2}{3} \pi} + \underline{Y}_T e^{-j \frac{4}{3} \pi}}{\underline{G}_R + \underline{G}_S + \underline{Y}_T}$$

entweder Einsetzen von \underline{Y}_T oder $\underline{I}_M = 0 \Rightarrow \underline{G}_R + \underline{G}_S e^{-j \frac{2}{3} \pi} + \underline{Y}_T e^{-j \frac{4}{3} \pi} = 0$
 $\Rightarrow \underline{U}_{NM} = 0$

Aufgabe 4: Kapazitiver Spannungswandler

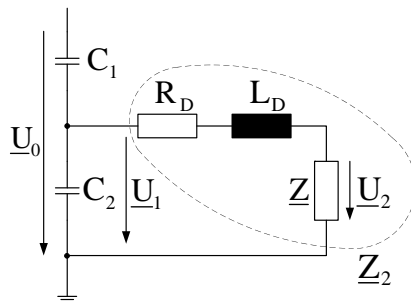
4. a) Berechnung des Spannungsverhältnisses und der Impedanz

$$\frac{\underline{U}_2}{\underline{U}_3} = \frac{w_1}{w_2} = \ddot{u}; \quad \underline{Z} = R_B \left(\frac{w_1}{w_2} \right)^2 = R_B \ddot{u}^2$$

4. b) Ersatzschaltbild

Berechnung von Netzwerken mit idealem Transformator: Spannungs- und Stromtransformation mit dem Verhältnis der Windungszahlen

Hier folgt daraus: Umrechnung von R_B auf die Primärseite,
Weglassen des idealen Transformators



$$\text{mit } \underline{Z}_2 = R_D + \ddot{u}^2 R_B + j\omega L_D$$

Abbildung 4.1: Ersatzschaltbild eines kapazitiven Spannungswandlers

4. c) Übertragungsfunktion

$$C_2 \parallel \underline{Z}_2: \quad \underline{Z}_{US} = \frac{\frac{1}{j\omega C_2} \underline{Z}_2}{\frac{1}{j\omega C_2} + \underline{Z}_2} = \frac{\underline{Z}_2}{1 + j\omega C_2 \underline{Z}_2}$$

$$\frac{\underline{U}_1}{\underline{U}_0} = \frac{\underline{Z}_{US}}{\frac{1}{j\omega C_1} + \underline{Z}_{US}} = \frac{\underline{Z}_2}{(1 + j\omega C_2 \underline{Z}_2) \frac{1}{j\omega C_1} + \underline{Z}_2} = \frac{j\omega C_1 \underline{Z}_2}{(1 + j\omega C_2 \underline{Z}_2) + j\omega C_1 \underline{Z}_2}$$

$$\frac{\underline{U}_2}{\underline{U}_1} = \frac{R_B \ddot{u}^2}{R_B \ddot{u}^2 + R_D + j\omega L_D}$$

$$\begin{aligned}
 \underline{F}_1(w) &= \frac{\underline{U}_2}{\underline{U}_0} = \frac{\underline{U}_2}{\underline{U}_1} \cdot \frac{\underline{U}_1}{\underline{U}_0} \\
 &= \frac{R_B \ddot{u}^2}{R_B \ddot{u}^2 + R_D + jwL_D} \cdot \frac{jwC_1(R_B \ddot{u}^2 + R_D + jwL_D)}{1 + jwC_2(R_B \ddot{u}^2 + R_D + jwL_D) + jwC_1(R_B \ddot{u}^2 + R_D + jwL_D)} \\
 &= \frac{R_B \ddot{u}^2 \cdot jwC_1}{1 + jw(C_1 + C_2)(R_B \ddot{u}^2 + R_D + jwL_D)} \\
 &= \frac{jwC_1 R_B \ddot{u}^2}{1 - w^2 L_D (C_1 + C_2) + jw(C_1 + C_2)(R_B \ddot{u}^2 + R_D)} \\
 \underline{F}_2(w) &= \frac{\underline{U}_3}{\underline{U}_0} = \frac{\underline{U}_3}{\underline{U}_2} \cdot \frac{\underline{U}_2}{\underline{U}_0} = \frac{1}{\ddot{u}} F_1(w) = \frac{jwC_1 R_B \ddot{u}}{1 - w^2 L_D (C_1 + C_2) + jw(C_1 + C_2)(R_B \ddot{u}^2 + R_D)}
 \end{aligned}$$

4. d) **Bestimmung von L_D und den daraus resultierenden Übertragungsfunktionen**

$\underline{F}_1(w)$ konj. komplex erweitern, Betrachtung des Zählers:

$$\begin{aligned}
 &(jwC_1 R_B \ddot{u}^2)((1 - w^2 L_D (C_1 + C_2) - jw(C_1 + C_2)(R_B \ddot{u}^2 + R_D)) \\
 &= j(wC_1 R_B \ddot{u}^2)(1 - w^2 L_D (C_1 + C_2)) + w^2 C_1 R_B \ddot{u}^2 (C_1 + C_2)(R_B \ddot{u}^2 + R_D)
 \end{aligned}$$

$$\text{Zähler rein reell für: } 1 - w^2 L_D (C_1 + C_2) = 0 \quad \Rightarrow \quad L_D = \frac{1}{w^2 (C_1 + C_2)}$$

$$\underline{F}_1(w) = \frac{C_1 R_B \ddot{u}^2}{(C_1 + C_2)(R_B \ddot{u}^2 + R_D)}$$

$$\underline{F}_2(w) = \frac{C_1 R_B \ddot{u}}{(C_1 + C_2)(R_B \ddot{u}^2 + R_D)}$$

4. e) **vereinfachte Übertragungsfunktion**

$$R_D \ll R_B \ddot{u}^2 \quad \Rightarrow \quad \underline{F}_1(w) = \frac{C_1}{C_1 + C_2}; \quad \underline{F}_2(w) = \frac{C_1}{C_1 + C_2} \cdot \frac{1}{\ddot{u}}$$

Aufgabe 5: Bandpass

5. a) Übertragungsfunktion

Hilfgrößen: Spannung über $C_1 \Rightarrow \underline{U}_{C_1}$ und Ersatzimpedanz \underline{Z} für alles rechts von R_1

$$\begin{aligned}\underline{Z} &= \frac{\frac{1}{j\omega C_1} \left(R_2 + \frac{1}{j\omega C_2} \right)}{\frac{1}{j\omega C_1} + R_2 + \frac{1}{j\omega C_2}} = \frac{R_2 + \frac{1}{j\omega C_2}}{1 + j\omega C_1 R_2 + \frac{C_1}{C_2}} = \frac{1 + j\omega C_2 R_2}{j\omega C_2 - \omega^2 C_1 C_2 R_2 + j\omega C_1} \\ &= \frac{1 + j\omega C_2 R_2}{-\omega^2 C_1 C_2 R_2 + j\omega(C_1 + C_2)}\end{aligned}$$

$$\begin{aligned}\underline{F}(w) &= \frac{\underline{U}_2(w)}{\underline{U}_{C_1}(w)} \cdot \frac{\underline{U}_{C_1}(w)}{\underline{U}_1} = \frac{R_2}{R_2 + \frac{1}{j\omega C_2}} \cdot \frac{\underline{Z}}{\underline{Z} + R_1} = \frac{j\omega C_2 R_2}{1 + j\omega C_2 R_2} \cdot \frac{\underline{Z}}{\underline{Z} + R_1} \\ &= \frac{j\omega C_2 R_2}{1 + j\omega C_2 R_2} \cdot \frac{1 + j\omega C_2 R_2}{(1 + j\omega C_2 R_2) + R_1(-\omega^2 C_1 C_2 R_2 + j\omega(C_1 + C_2))} \\ &= \frac{j\omega C_2 R_2}{(1 - \omega^2 C_1 C_2 R_1 R_2) + j\omega(C_2 R_2 + R_1(C_1 + C_2))}\end{aligned}$$

5. b) Betragfunktion und Winkelfunktion

$$|\underline{F}(w)| = \frac{w C_2 R_2}{\sqrt{(1 - \omega^2 C_1 C_2 R_1 R_2)^2 + \omega^2 (C_2 R_2 + R_1 C_1 + R_1 C_2)^2}}$$

$$\varphi = \arg(\underline{F}(w)) = \arg\{\text{Zähler}\} - \arg\{\text{Nenner}\}$$

$$\varphi = \begin{cases} \frac{\pi}{2} - \arctan \frac{w(C_2 R_2 + C_1 R_1 + R_1 C_2)}{1 - \omega^2 C_1 C_2 R_1 R_2} & \text{für } 1 - \omega^2 C_1 C_2 R_1 R_2 > 0 \\ 0 & \text{für } 1 - \omega^2 C_1 C_2 R_1 R_2 = 0 \\ \frac{\pi}{2} - \left[\pi + \arctan \left(\frac{w(C_2 R_2 + C_1 R_1 + R_1 C_2)}{1 - \omega^2 C_1 C_2 R_1 R_2} \right) \right] & \text{für } 1 - \omega^2 C_1 C_2 R_1 R_2 < 0 \end{cases}$$

5. c) Bestimmung der Kreisfrequenz, bei der die Betragfunktion ein Maximum annimmt

$\frac{d}{dw} (|\underline{F}(w)|) \stackrel{!}{=} 0 \Rightarrow$ Anwendung der Quotientenregel und Nullsetzen des Zählers!

$$\begin{aligned}0 &= \left[C_2 R_2 \cdot \sqrt{(1 - \omega^2 C_1 C_2 R_1 R_2)^2 + \omega^2 (C_2 R_2 + R_1 C_1 + R_1 C_2)^2} \right] \\ &\quad - \left[w C_2 R_2 \frac{1}{2} \frac{1}{\sqrt{(1 - \omega^2 C_1 C_2 R_1 R_2)^2 + \omega^2 (C_2 R_2 + R_1 C_1 + R_1 C_2)^2}} \right. \\ &\quad \left. \cdot \left(2(1 - \omega^2 C_1 C_2 R_1 R_2)(-2\omega R_1 R_2 C_1 C_2) + 2\omega (C_2 R_2 + R_1 C_1 + R_1 C_2)^2 \right) \right]\end{aligned}$$

$$\begin{aligned}0 &= \sqrt{(1 - \omega^2 C_1 C_2 R_1 R_2)^2 + \omega^2 (C_2 R_2 + R_1 C_1 + R_1 C_2)^2} \cdot 2C_2 R_2 \\ &\quad - w R_2 C_2 \left(2(1 - \omega^2 C_1 C_2 R_1 R_2)(-2\omega R_1 R_2 C_1 C_2) + 2\omega (C_2 R_2 + R_1 C_1 + R_1 C_2)^2 \right)\end{aligned}$$

$$\begin{aligned}0 &= (1 - \omega^2 C_1 C_2 R_1 R_2)^2 + \omega^2 (C_2 R_2 + R_1 C_1 + R_1 C_2)^2 \\ &\quad - \left((1 - \omega^2 C_1 C_2 R_1 R_2)(-2\omega R_1 R_2 C_1 C_2) w + \omega^2 (C_2 R_2 + R_1 C_1 + R_1 C_2)^2 \right)\end{aligned}$$

$$\begin{aligned}
 & (1 - w^2 C_1 C_2 R_1 R_2)^2 + w^2 (C_2 R_2 + R_1 C_1 + R_1 C_2)^2 \\
 & = w(1 - w^2 C_1 C_2 R_1 R_2)(-2w R_1 R_2 C_1 C_2) + w^2 (C_2 R_2 + R_1 C_1 + R_1 C_2)^2 \\
 & (1 - w^2 C_1 C_2 R_1 R_2)^2 = w(1 - w^2 C_1 C_2 R_1 R_2)(-2w C_1 C_2 R_1 R_2) \\
 & (1 - w^2 C_1 C_2 R_1 R_2) \underbrace{[w(-2w C_1 C_2 R_1 R_2) - (1 - w^2 C_1 C_2 R_1 R_2)]}_{\neq 0 \quad \forall w \geq 0} = 0 \\
 & w = \frac{1}{\sqrt{C_1 C_2 R_1 R_2}} \stackrel{!}{=} w_0 \quad \Rightarrow \quad \text{Maximum?}
 \end{aligned}$$

Für $w < w_0$ und $w > w_0$ gilt $1 - w^2 C_1 C_2 R_1 R_2 \neq 0$:
Nenner von $|\underline{F}(w)|$ wird größer $\Rightarrow |\underline{F}(w)|$ wird kleiner

$$|\underline{F}(w_0)| = \frac{C_2 R_2 \frac{1}{\sqrt{C_1 C_2 R_1 R_2}}}{\sqrt{\frac{C_2 R_2 + C_1 R_1 + R_1 C_2}{C_1 C_2 R_1 R_2}}} = \frac{C_2 R_2}{C_2 R_2 + R_1 C_1 + R_1 C_2}$$

$$|\underline{F}(w)| = 0; \quad \lim_{w \rightarrow \infty} |\underline{F}(w)| = 0$$

5. d) Skizze der Betragsfunktion

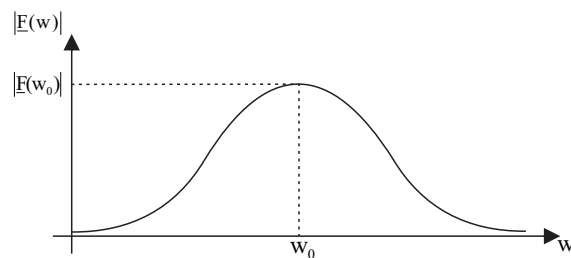


Abbildung 5.1: Skizze der Betragsfunktion $|\underline{F}(w)|$

5. e) Übertragung von Frequenzen

$$\lim_{w \rightarrow \infty} \frac{1}{w C_1} = \lim_{w \rightarrow \infty} \frac{1}{w C_2} = 0 \quad \Rightarrow \quad C_1 \text{ (und } C_2) \text{ stellt einen Kurzschluss dar.}$$

$$\lim_{w \rightarrow 0} \frac{R_2}{R_2 + \frac{1}{j w C_2}} = 0 \quad \Rightarrow \quad \text{An } R_2 \text{ fällt keine Spannung mehr ab.}$$

5. f) Skizze der Winkelfunktion

$$\begin{aligned}
 \varphi(0) = \frac{\pi}{2}; \quad \lim_{w \rightarrow \infty} \varphi(w) = -\frac{\pi}{2}; \quad \varphi \stackrel{!}{=} 0 & \Rightarrow \arctan\left(\frac{w(C_2 R_2 + R_1 C_1 + R_1 C_2)}{1 - w^2 C_1 C_2 R_1 R_2}\right) \stackrel{!}{=} \frac{\pi}{2} \\
 \Rightarrow w = w_0 = \frac{1}{\sqrt{R_1 R_2 C_1 C_2}}
 \end{aligned}$$

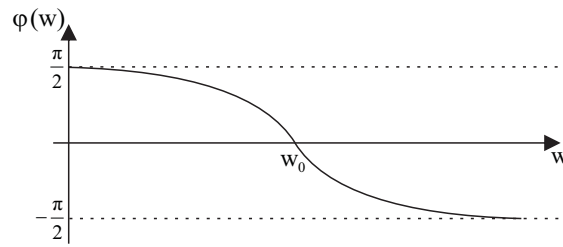


Abbildung 5.2: Skizze der Winkelfunktion $\varphi(w)$

Aufgabe 6: Wanderwellen auf einer Messleitung

6. a) **Berechnung des Widerstandes R_1**

keine Reflektion $\Rightarrow R(p) = \frac{Z_A - Z_0}{Z_A + Z_0} \stackrel{!}{=} 0 \Rightarrow R_1 = Z_0 = 50 \Omega$

6. b) **Zeitfunktion der Spannungswelle $u_1(t)$**

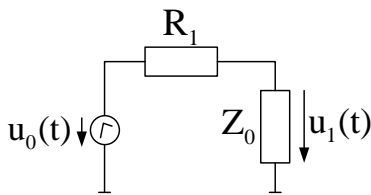


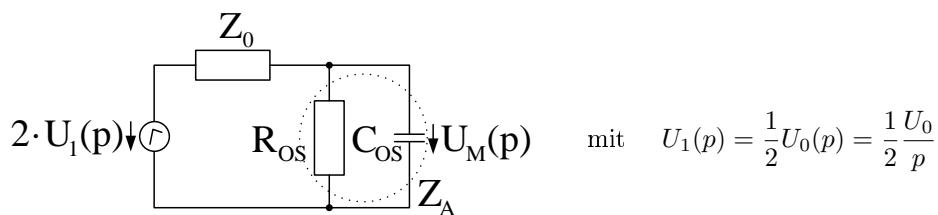
Abbildung 6.1: Ersatzschaltbild für die einlaufende Welle

aus dem ESB:

$$u_1(t) = u_0(t) \cdot \frac{Z_0}{R_1 + Z_0} = \frac{1}{2} u_0(t)$$

Spannung, die in die Leitung einläuft

6. c) **Zeitfunktion der Spannung $u_M(t)$**



mit $U_1(p) = \frac{1}{2} U_0(p) = \frac{1}{2} \frac{U_0}{p}$

Abbildung 6.2: einphasiges Ersatzschaltbild

$$Z_A = \frac{R_{OS} \cdot \frac{1}{pC_{OS}}}{R_{OS} + \frac{1}{pC_{OS}}} = \frac{R_{OS}}{1 + pC_{OS}R_{OS}}$$

$$\frac{U_M(p)}{2U_1(p)} = \frac{\frac{R_{OS}}{1+pC_{OS}R_{OS}}}{Z_0 + \frac{R_{OS}}{1+pC_{OS}R_{OS}}} = \frac{R_{OS}}{R_{OS} + Z_0 + pC_{OS}R_{OS}Z_0}$$

$$U_M(p) = \frac{\frac{1}{C_{OS}Z_0}}{\frac{R_{OS}+Z_0}{C_{OS}R_{OS}Z_0} + p} \cdot 2 \cdot \frac{1}{2} \cdot \frac{U_0}{p} \bullet \circ \frac{1}{C_{OS}Z_0} \frac{C_{OS}R_{OS}Z_0}{R_{OS} + Z_0} \left(1 - e^{-\frac{R_{OS}+Z_0}{R_{OS}C_{OS}Z_0}t} \right) \cdot U_0$$

$$u_M(t) = \frac{R_{OS}}{R_{OS} + Z_0} U_0 \left(1 - e^{-\frac{t}{\tau}} \right) \quad \text{mit} \quad \tau = \frac{R_{OS}C_{OS}Z_0}{R_{OS} + Z_0}$$

6. d) Übertragungsfunktion $F(p)$

aus c) resultiert $F(p) = \frac{R_{OS}}{R_{OS} + Z_0 + pC_{OS}R_{OS}Z_0} = \frac{1}{1 + \frac{Z_0}{R_{OS}} + pC_{OS}Z_0}$

für $Z_0 \ll R_{OS}$: $F(p) = \frac{1}{1 + pC_{OS}Z_0}$

6. e) Zeitkonstante τ

$$U_M(p) = \frac{U_0}{p} \cdot \frac{1}{1 + pC_{OS}Z_0} = \frac{U_0}{C_{OS}Z_0} \cdot \frac{1}{\frac{1}{C_{OS}Z_0} + p} \cdot \frac{1}{p}$$

$$u_M(t) = U_0 \left(1 - e^{-\frac{t}{C_{OS}Z_0}} \right) \sigma(t)$$

$$\tau = C_{OS}Z_0 = 50 \Omega \cdot 30 \text{ pF} = 1,5 \text{ ns}$$

Je kleiner C_{OS} desto kleiner τ , desto geringer die Verfälschung!

6. f) Laplacetransformation der zurücklaufenden Welle

$$U_M(p) = U_h(p) + U_r(p) = U_1(p) + U_r(p)$$

$$U_r(p) = U_M(p) - U_1(p) = \frac{U_0}{p} \cdot \frac{1}{1 + pC_{OS}Z_0} - \frac{1}{2} \cdot \frac{U_0}{p}$$

$$U_r(p) = \frac{U_0}{2p} \cdot \left(\frac{2}{1 + pC_{OS}Z_0} - 1 \right) = \frac{1 - pC_{OS}Z_0}{1 + pC_{OS}Z_0} \cdot \frac{U_0}{2p}$$

alternativ mit Reflexionsfaktor

$$R(p) = \frac{Z_A - Z_0}{Z_A + Z_0} = \frac{\frac{R_{OS}}{1+pC_{OS}R_{OS}} - Z_0}{\frac{R_{OS}}{1+pC_{OS}R_{OS}} + Z_0} = \frac{R_{OS} - Z_0 - pC_{OS}R_{OS}Z_0}{R_{OS} + Z_0 + pC_{OS}R_{OS}Z_0}$$

$$= \frac{1 - \left(\frac{Z_0}{R_{OS}} \right) - pC_{OS}Z_0}{1 + \frac{Z_0}{R_{OS}} + pC_{OS}Z_0}; \quad \text{Für } Z_0 \ll R_{OS} \text{ gilt: } R(p) = \frac{1 - pC_{OS}Z_0}{1 + pC_{OS}Z_0}$$

Es gilt: $U_r = R(p)U_1 = \frac{1 - pC_{OS}Z_0}{1 + pC_{OS}Z_0} \cdot \frac{U_0}{2p}$

Aufgabe 7: Schutz eines Transformators vor steilflankigen Wanderwellen

7. a) Amplitude U_0 der Spannungswelle u

$$U_0 = \frac{1}{2} \cdot i_B \cdot Z_0 = \frac{1}{2} 350 \Omega \cdot 10 \text{ kA} = 175 \cdot 10^4 \text{ V} = 1,75 \text{ MV}$$

7. b) Vorschlag 1, Spannung $u_2(t)$

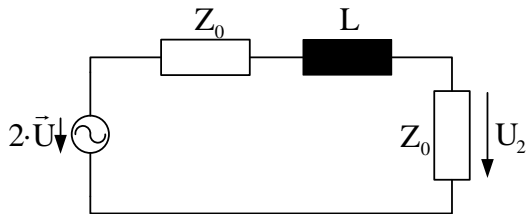


Abbildung 7.1: Ersatzschaltbild: einlaufende Welle in die zweite Leitung (Vorschlag 1)

$$\begin{aligned} U_2 &= 2\vec{U} \cdot \frac{Z_0}{Z_0 + Z_0 + pL} = U_2(p) \\ &= 2 \frac{U_0}{p} \cdot \frac{Z_0 \frac{1}{L}}{(2Z_0 + pL) \frac{1}{L}} \\ &= 2U_0 \frac{Z_0}{L} \frac{1}{(p + \frac{2Z_0}{L})} \cdot \frac{1}{p} \end{aligned}$$

$$\begin{aligned} U_2(t) &= \frac{2U_0 Z_0 L}{2LZ_0} \left(1 - e^{-\frac{2Z_0}{L}t}\right) \\ &= U_0 \left(1 - e^{-\frac{t}{T}}\right) \quad \text{mit } T = \frac{L}{2Z_0} \end{aligned}$$

7. c) Vorschlag 1, rücklaufende Welle

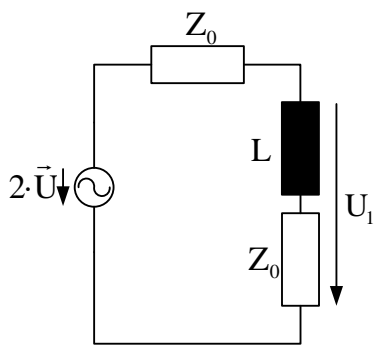
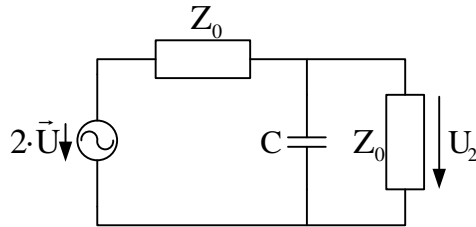


Abbildung 7.2: Ersatzschaltbild: reflektierte und in die erste Leitung zurücklaufende Welle (Vorschlag 1)

$$\begin{aligned} U_1 &= 2\vec{U} \cdot \frac{Z_0 + pL}{2Z_0 + pL} = 2U_0 \cdot \frac{Z_0 + pL}{2Z_0 + pL} \\ U_1 &= \vec{U} + \overleftarrow{U} \\ \overleftarrow{U} &= U_1 - \vec{U} = 2\vec{U} \frac{Z_0 + pL}{2Z_0 + pL} - \vec{U} \\ &= \frac{2Z_0 + 2pL - 2Z_0 - pL}{2Z_0 + pL} \cdot \vec{U} = \frac{pL}{2Z_0 + pL} \cdot \frac{U_0}{p} \\ &= \frac{U_0 L}{2Z_0 + pL} \cdot \frac{1}{\frac{1}{L}} = \frac{U_0}{p + \frac{2Z_0}{L}} = \overleftarrow{U}(p) \\ \overleftarrow{u}(t) &= U_0 e^{-\frac{t}{T}} \quad \text{mit } T = \frac{L}{2Z_0} \end{aligned}$$

7. d) **Vorschlag 2, Spannung $u_2(t)$**


$$\begin{aligned}
 Z(p) &= \frac{\frac{1}{pC} \cdot Z_0}{Z_0 + \frac{1}{pC}} \\
 &= \frac{Z_0}{1 + pCZ_0}
 \end{aligned}$$

Abbildung 7.3: Ersatzschaltbild: für Vorschlag 2

$$\begin{aligned}
 U_2(p) &= 2\vec{U} \cdot \frac{Z(p)}{Z(p) + Z_0} = 2\vec{U} \cdot \frac{U_0}{(1 + pCZ_0) \left[\frac{Z_0}{1 + pCZ_0} + Z_0 \right]} \\
 &= 2\vec{U} \cdot \frac{1}{(1 + pCZ_0) \left[\frac{1}{1 + pCZ_0} + 1 \right]} = 2\vec{U} \cdot \frac{1}{1 + 1 + pCZ_0} \\
 U_2(p) &= \frac{2U_0}{p} \cdot \frac{1}{2 + pCZ_0} = \frac{U_0}{p} \cdot \frac{1}{1 + p\frac{CZ_0}{2}} \cdot \frac{\frac{2}{CZ_0}}{\frac{2}{CZ_0}} \\
 &= U_0 \left(\frac{2}{CZ_0} \right) \cdot \frac{1}{p \left(p + \frac{2}{CZ_0} \right)} \\
 u_2(t) &= U_0 \left(\frac{2}{CZ_0} \right) \cdot \frac{1}{\left(\frac{2}{CZ_0} \right)} \cdot \left(1 - e^{-\frac{t}{T}} \right) \\
 &= U_0 \left(1 - e^{-\frac{t}{T}} \right) \quad \text{mit} \quad T = \frac{CZ_0}{2}
 \end{aligned}$$

 7. e) **Äquivalenz beider Lösungen**

gilt für $\frac{L}{2Z_0} = \frac{CZ_0}{2}$ oder $\frac{L}{Z_0} = CZ_0$ oder $\sqrt{\frac{L}{C}} = Z_0$.

Lösung 2 (Kapazität gegen Erde) ist günstiger, da die Drossel für den gesamten Betriebsstrom ausgelegt sein muss.

Aufgabe 8: Operationsverstärker mit RC-Netzwerk

8. a) Ersatzschaltbild

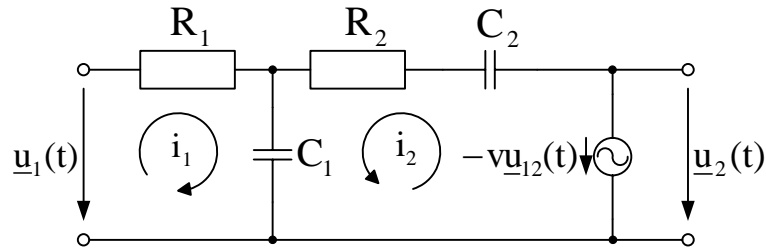


Abbildung 8.1: Ersatzschaltbild der Operationsverstärkerschaltung

 8. b) Übertragungsverhalten $F(p) = \frac{U_2(p)}{U_1(p)}$ (Maschenstromanalyse)

$$U_1 = R_1 I_1 + \frac{1}{pC_1}(I_1 + I_2); \quad U_2 = -v U_{12} = -v \frac{1}{pC_1}(I_1 + I_2) = \left(\frac{1}{pC_2} + R_2 \right) I_2 + \frac{1}{pC_1}(I_1 + I_2)$$

$$\Rightarrow \left(\frac{1}{pC_2} + R_2 \right) I_2 + \frac{1}{pC_1}(I_1 + I_2)(1 + v) = 0$$

I_1	I_2	
$R_1 + \frac{1}{pC_1}$	$\frac{1}{pC_1}$	U_1
$\frac{1}{pC_1}(1 + v)$	$R_2 + \frac{1}{pC_1}(1 + v) + \frac{1}{pC_2}$	0

$$\Rightarrow U_2 = -\frac{v}{pC_1}(I_1 + I_2)$$

$$= -\frac{v}{pC_1} \left(\frac{D_1}{D} + \frac{D_2}{D} \right)$$

$$D = \left(R_1 + \frac{1}{pC_1} \right) \left(R_2 + \frac{1}{pC_1}(1 + v) + \frac{1}{pC_2} \right) - (1 + v) \left(\frac{1}{pC_1} \right)^2$$

$$D_1 = U_1 \left(R_2 + \frac{1}{pC_1}(1 + v) + \frac{1}{pC_2} \right) \quad \text{und} \quad D_2 = -U_1 \frac{1}{pC_1}(1 + v)$$

$$U_2 = U_1 \left[\frac{R_2 + \frac{1}{pC_1}(1 + v) + \frac{1}{pC_2}}{\left(R_1 + \frac{1}{pC_1} \right) \left(R_2 + \frac{1}{pC_1}(1 + v) + \frac{1}{pC_2} \right) - (1 + v) \left(\frac{1}{pC_1} \right)^2} - \frac{\frac{1}{pC_1}(1 + v)}{\left(R_1 + \frac{1}{pC_1} \right) \left(R_2 + \frac{1}{pC_1}(1 + v) + \frac{1}{pC_2} \right) - (1 + v) \left(\frac{1}{pC_1} \right)^2} \right] \left(\frac{-v}{pC_1} \right)$$

$$\begin{aligned}
 \frac{U_2}{U_1} &= -v \frac{R_2 + \frac{1}{pC_1}(1+v) + \frac{1}{pC_2} - \frac{1}{pC_1}(1+v)}{(pC_1R_1 + 1) \left(R_2 + \frac{1}{pC_1}(1+v) + \frac{1}{pC_2} \right) - (1+v)\frac{1}{pC_1}} \\
 &= -v \frac{pC_2R_2 + 1}{p^2C_1C_2R_1R_2 + pR_2C_2 + pC_2R_1(1+v) + pC_1R_1 + 1} \\
 &= -v \frac{pC_2R_2 + 1}{1 + p^2R_1R_2C_1C_2 + p(C_1R_1 + C_2R_2 + R_1C_2(1+v))}
 \end{aligned}$$

8. c) Übertragungsverhalten $F(p) = \frac{U_2(p)}{U_1(p)}$ (Knotenpotentialanalyse)

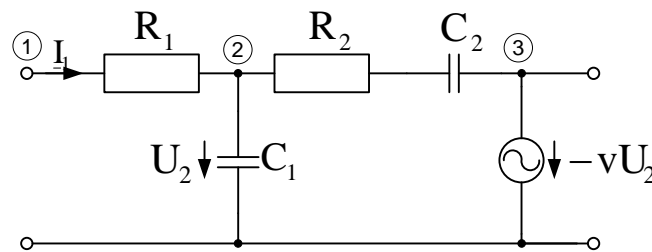


Abbildung 8.2: Ersatzschaltbild für Knotenpotentialanalyse

$$I_1 = (U_1 - U_2) \frac{1}{R_1}; \quad (U_1 - U_2) \frac{1}{R_1} = pC_1U_2 + (U_2 - U_3) \frac{1}{R_2 + \frac{1}{pC_2}}; \quad U_3 = -vU_2$$

U_1	U_2	U_3	
$\frac{1}{R_1}$	$-\frac{1}{R_1}$	0	I_1
$-\frac{1}{R_1}$	$\frac{1}{R_1} + pC_1 + \frac{1}{R_2 + \frac{1}{pC_2}}$	$-\frac{1}{R_2 + \frac{1}{pC_2}}$	0
0	v	1	0

$$\frac{U_3}{U_1} = \frac{D_3}{D} \cdot \frac{D}{D_1} = \frac{D_3}{D_1}; \quad D_3 = I_1 \left(-\frac{v}{R_1} \right); \quad D_1 = I_1 \left[\left(\frac{1}{R_1} + pC_1 + \frac{1}{R_2 + \frac{1}{pC_2}} \right) + \frac{v}{R_2 + \frac{1}{pC_2}} \right]$$

$$\begin{aligned}
 \frac{U_3}{U_1} &= \frac{-\frac{v}{R_1}}{\frac{1}{R_1} + pC_1 + \frac{1}{R_2 + \frac{1}{pC_2}} + \frac{v}{R_2 + \frac{1}{pC_2}}} = \frac{-v}{1 + pC_1R_1 + R_1 \frac{pC_2}{1 + pC_2R_2} (1+v)} \\
 &= \frac{-v(1 + pC_2R_2)}{1 + pC_1R_1 + pC_2R_2 + p^2C_1C_2R_1R_2 + pR_1C_2(1+v)} \\
 &= \frac{-v(1 + pC_2R_2)}{1 + p^2C_1C_2R_1R_2 + p(C_1R_1 + C_2R_2 + R_1C_2(1+v))}
 \end{aligned}$$

8. d) Betrag von $|\underline{F}(w)|$

$$p = jw \Rightarrow \underline{F}(w) = v \frac{-1 - jwC_2R_2}{1 - w^2R_1R_2C_1C_2 + jw(C_1R_1 + C_2R_2 + R_1C_2(1+v))}$$

$$|\underline{F}(w)| = v \frac{\sqrt{1 + w^2C_2^2R_2^2}}{\sqrt{(1 - w^2R_1R_2C_1C_2)^2 + w^2(C_1R_1 + C_2R_2 + R_1C_2(1+v))^2}}$$

$$|\underline{F}(0)| = v \quad \text{und} \quad \lim_{w \rightarrow \infty} |\underline{F}(w)| = 0$$

8. e) Winkel der Übertragungsfunktion

$$\varphi = \arg \underline{F}(w) = \arg \{\text{Zähler}\} - \arg \{\text{Nenner}\}$$

$$\arg \{\text{Zähler}\} = \pi + \arctan(wR_2C_2)$$

$$\arg \{\text{Nenner}\} = \begin{cases} \arctan \frac{w(C_1R_1 + C_2R_2 + R_1C_2(1+v))}{1 - w^2R_1R_2C_1C_2} & \text{für } 1 - w^2R_1R_2C_1C_2 > 0 \\ \frac{\pi}{2} & \text{für } 1 - w^2R_1R_2C_1C_2 = 0 \\ \pi + \arctan \frac{w(C_1R_1 + C_2R_2 + R_1C_2(1+v))}{1 - w^2R_1R_2C_1C_2} & \text{für } 1 - w^2R_1R_2C_1C_2 < 0 \end{cases}$$

$$\varphi(0) = \pi; \quad \lim_{w \rightarrow \infty} \varphi = \frac{3}{2}\pi - (\pi - 0) = \frac{\pi}{2}$$

8. f) Skizzen der Funktionen

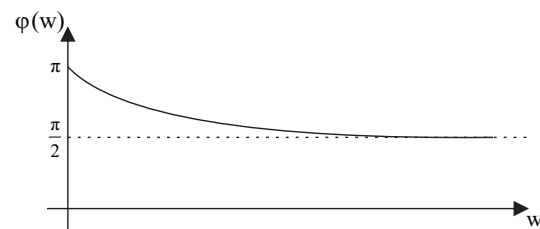
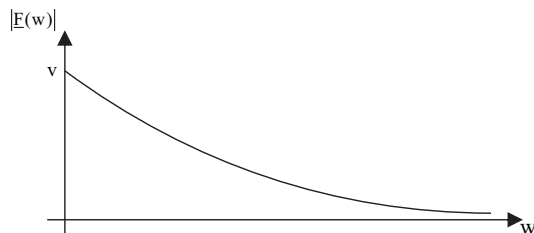

 Abbildung 8.3: Skizze der Betragsfunktion $|\underline{F}(w)|$

 Abbildung 8.4: Skizze der Winkelfunktion $\varphi(w)$

Mehr kann mit dem errechneten Informationen nicht über den Verlauf der Funktionen ausgesagt werden. Extrema müssten berechnet werden, eine Abschätzung ist nicht ohne Weiteres möglich!

Aufgabe 9: Operationsverstärkerschaltung mit Integralanteil

9. a) Ersatzschaltbild

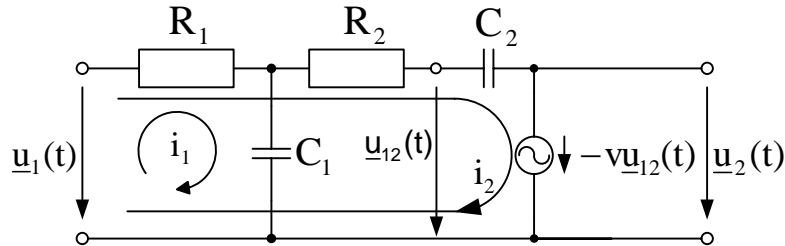


Abbildung 9.1: Ersatzschaltbild der Operationsverstärkerschaltung

9. b) Übertragungsverhalten $F(p) = \frac{U_2(p)}{U_1(p)}$ (Maschenstromanalyse)

$$U_1 = (I_1 + I_2)R_1 + \frac{1}{pC_1}I_1; \quad U_1 = (I_1 + I_2)R_1 + I_2 \left(R_2 + \frac{1}{pC_2} \right) - vU_{12}$$

I_1	I_2	
$R_1 + \frac{1}{pC_1}$	R_1	U_1
R_1	$R_1 + R_2 + \frac{1}{pC_2}$	$U_1 + vU_{12}$

Ersetzen von $U_{12} = U_1 - R_1(I_1 + I_2) - R_2I_2$ führt zu

I_1	I_2	
$R_1 + \frac{1}{pC_1}$	R_1	U_1
$R_1(1+v)$	$R_1(1+v) + R_2(1+v) + \frac{1}{pC_2}$	$(1+v)U_1$

I_1	I_2	
$R_1 + \frac{1}{pC_1}$	R_1	U_1
R_1	$R_1 + R_2 + \frac{1}{(1+v)pC_2}$	U_1

gesucht: $\frac{U_2}{U_1} = -\frac{vU_{12}}{U_1} = -v \left[1 - R_1 \frac{I_1 + I_2}{U_1} - R_2 \frac{I_2}{U_1} \right]$ mit $I_1 = \frac{D_1}{D}$ und $I_2 = \frac{D_2}{D}$

$$D = \left(R_1 + \frac{1}{pC_1} \right) \left(R_1 + R_2 + \frac{1}{(1+v)pC_2} \right) - R_1^2$$

$$D_1 = U_1 \left(R_1 + R_2 + \frac{1}{(1+v)pC_2} - R_1 \right) = U_1 \left(R_2 + \frac{1}{(1+v)pC_2} \right)$$

$$D_2 = U_1 \left(R_1 + \frac{1}{pC_1} - R_1 \right) = U_1 \frac{1}{pC_1}$$

 Verhältnis $\frac{U_2}{U_1}$

$$\frac{U_2}{U_1} = -v \left[1 - \frac{R_1 \left[R_2 + \frac{1}{(1+v)pC_2} + \frac{1}{pC_1} \right] + R_2 \frac{1}{pC_1}}{\left(R_1 + \frac{1}{pC_1} \right) \left(R_1 + R_2 + \frac{1}{(1+v)pC_2} \right) - R_1^2} \right]$$

$$= \frac{R_1 R_2 + \frac{R_1}{(1+v)pC_2} + \frac{R_1}{pC_1} + \frac{R_2}{pC_1}}{R_1 R_2 + \frac{R_1}{(1+v)pC_2} + \frac{R_1}{pC_1} + \frac{R_2}{pC_1} + \frac{1}{1+v} \frac{1}{pC_1} \frac{1}{pC_2}} \cdot v - v$$

$$= -v + v \frac{p^2 C_1 C_2 R_1 R_2 (1+v) + p C_1 R_1 + p C_2 (1+v) (R_1 + R_2)}{p^2 C_1 C_2 R_1 R_2 (1+v) + p C_1 R_1 + p C_2 (1+v) (R_1 + R_2) + 1}$$

$$= -v \frac{1}{p^2 C_1 C_2 R_1 R_2 (1+v) + p (C_1 R_1 + C_2 (1+v) (R_1 + R_2)) + 1}$$

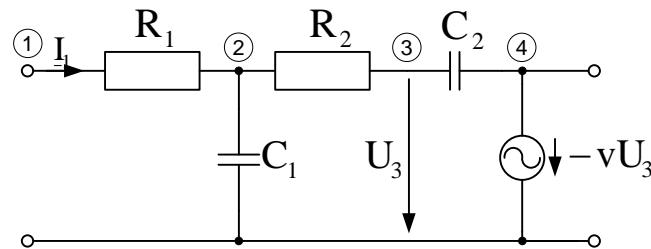
 9. c) Übertragungsverhalten $F(p) = \frac{U_2(p)}{U_1(p)}$ (Knotenpotentialanalyse)


Abbildung 9.2: Ersatzschaltbild für Knotenpotentialanalyse

gesucht: $\frac{U_4}{U_1} = -v \frac{U_3}{U_1} = -v \frac{D_3}{D_1}$

U_1	U_2	U_3	U_4	
$-\frac{1}{R_1}$	$\frac{1}{R_1}$	0	0	$-I_1$
$\frac{1}{R_1}$	$-\left(\frac{1}{R_1} + \frac{1}{R_2} + pC_1 \right)$	$\frac{1}{R_2}$	0	0
0	$\frac{1}{R_2}$	$-\left(\frac{1}{R_2} + pC_2 \right)$	pC_2	0
0	0	v	1	0

$$D_1 = -I_1 \left(\left(\frac{1}{R_1} + \frac{1}{R_2} + pC_1 \right) \left(\frac{1}{R_2} + pC_2 \right) + vpC_2 \left(\frac{1}{R_1} + \frac{1}{R_2} + pC_1 \right) - \frac{1}{R_2^2} \right)$$

$$D_3 = -I_1 \cdot \begin{vmatrix} \frac{1}{R_1} & -\left(\frac{1}{R_1} + \frac{1}{R_2} + pC_1 \right) & 0 \\ 0 & \frac{1}{R_2} & pC_2 \\ 0 & 0 & 1 \end{vmatrix} = -I_1 \left(\frac{1}{R_1 R_2} \right)$$

 Verhältnis $\frac{U_4}{U_1}$

$$\begin{aligned} \frac{U_4}{U_1} &= -v \frac{\frac{1}{R_1 R_2}}{\left(\frac{1}{R_1} + \frac{1}{R_2} + pC_1 \right) \left(\frac{1}{R_2} + pC_2 \right) + pvC_2 \left(\frac{1}{R_1} + \frac{1}{R_2} + pC_1 \right) - \frac{1}{R_2^2}} \\ &= -v \frac{1}{(R_2 + R_1 + pC_1 R_1 R_2) \left(\frac{1}{R_2} + pC_2 \right) + pvC_2 (R_2 + R_1 + pC_1 R_1 R_2) - \frac{R_1}{R_2}} \\ &= \frac{-v}{p^2 C_1 C_2 R_1 R_2 (1+v) + pC_1 R_1 + p(1+v)C_2 (R_1 + R_2) + 1} \\ &= \frac{-v}{p^2 C_1 C_2 R_1 R_2 (1+v) + p(C_1 R_1 + (1+v)C_2 (R_1 + R_2)) + 1} \end{aligned}$$

 9. d) Übertragungsfunktion für $v \rightarrow \infty$

$$\lim_{v \rightarrow \infty} F(p) = \frac{-1}{p^2 C_1 C_2 R_1 R_2 + pC_2 (R_1 + R_2)} = \frac{-1}{C_1 C_2 R_1 R_2 p \left(p + \frac{1}{C_1 R_2} + \frac{1}{C_1 R_1} \right)}$$

9. e) Sprungantwort der Schaltung

$$U_1(p) = \frac{U_0}{p} \quad U_2(p) = U_1(p) \cdot F(p)$$

$$U_2(p) = \frac{-U_0}{C_1 C_2 R_1 R_2} \cdot \frac{1}{p^2 \left(p + \frac{1}{C_1 R_2} + \frac{1}{C_1 R_1} \right)}$$

$$\begin{aligned} u_2(t) &= \sigma(t) \cdot \frac{-U_0}{C_1 C_2 R_1 R_2} \cdot \left(\frac{C_1 R_1 R_2}{R_1 + R_2} \right)^2 \left[\exp \left(-\frac{R_1 + R_2}{C_1 R_1 R_2} t \right) + \frac{R_1 + R_2}{C_1 R_1 R_2} t - 1 \right] \\ &= \sigma(t) \cdot \frac{(-U_0)}{C_2} \cdot \frac{C_1 R_1 R_2}{(R_1 + R_2)^2} \left[\exp \left(-\frac{R_1 + R_2}{C_1 R_1 R_2} t \right) + \frac{R_1 + R_2}{C_1 R_1 R_2} t - 1 \right] \end{aligned}$$

9. f) Impulsantwort der Schaltung

$$U_1(p) = U_0 \Rightarrow U_2(p) = \frac{-U_0}{C_1 C_2 R_1 R_2} \cdot \frac{1}{p \left(p + \frac{1}{C_1 R_2} + \frac{1}{C_1 R_1} \right)}$$

$$u_2(t) = \sigma(t) \cdot \frac{-U_0}{C_2} \cdot \frac{1}{R_1 + R_2} \left(1 - \exp \left(-\frac{R_1 + R_2}{C_1 R_1 R_2} t \right) \right)$$

9. g) **Zusammenhang Impulsantwort und Sprungantwort**

$$\frac{d}{dt} \underbrace{(u_2(t))}_{\text{aus e)}} = \frac{-U_0}{C_2} \cdot \frac{1}{R_1 + R_2} \cdot \left(1 - \exp \left(-\frac{R_1 + R_2}{C_1 R_1 R_2} t \right) \right) = \underbrace{u_2(t)}_{\text{aus f)}}$$

Aufgabe 10: Schaltung zur Erzeugung einer hohen Sinusspannung

 10. a) **Laplace-Transformierte $U_0(p)$ und $U_1(p)$**

$$\begin{aligned}
 U_0(p) &= \int_0^{\infty} u_0(t)e^{-pt} dt = \int_0^{\frac{T}{2}} U_0 e^{-pt} dt + \int_{\frac{T}{2}}^T -U_0 e^{-pt} dt \\
 &= \left[-\frac{1}{p} U_0 e^{-pt} \right]_0^{\frac{T}{2}} + \left[\frac{1}{p} U_0 e^{-pt} \right]_{\frac{T}{2}}^T = -\frac{1}{p} U_0 e^{-p\frac{T}{2}} + \frac{1}{p} U_0 + \frac{1}{p} U_0 e^{-pT} - \frac{1}{p} U_0 e^{-p\frac{T}{2}} \\
 &= \frac{U_0}{p} \left(1 + e^{-pT} - 2e^{-p\frac{T}{2}} \right)
 \end{aligned}$$

periodisches Signal: $U_1(p) = U_0(p) \frac{1}{1 - e^{-pT}}$

 10. b) **Übertragungsverhalten $F(p) = \frac{U_2(p)}{U_1(p)}$ (leere Energiespeicher)**
 leere Energiespeicher \Rightarrow Spannungsteilerregel

$$\frac{U_2(p)}{U_1(p)} = \frac{\frac{1}{pC}}{R + pL + \frac{1}{pC}} = \frac{1}{1 + pCR + p^2LC} = \frac{1}{LC} \frac{1}{p^2 + p\frac{R}{L} + \frac{1}{LC}}$$

 10. c) **Laplace-Transformierte $U_2(p)$**

$$U_2(p) = \underbrace{\frac{U_0}{LC} \frac{1}{p(p^2 + p\frac{R}{L} + \frac{1}{LC})}}_{U_{20}(p)} \left(1 + e^{-pT} - 2e^{-p\frac{T}{2}} \right) \frac{1}{1 - e^{-pT}}$$

 10. d) **Zeitfunktion $u_{20}(t)$**

$$\begin{aligned}
 2\beta &= \frac{R}{L} \Rightarrow \beta = \frac{R}{2L} \quad \text{und} \quad \alpha^2 + \beta^2 = \frac{1}{LC} \Rightarrow \alpha^2 = \frac{1}{LC} - \frac{R^2}{4L^2} \\
 \Rightarrow \alpha &= \sqrt{\frac{1}{LC} - \frac{R^2}{4L^2}} \quad \text{und} \quad \frac{\beta}{\alpha} = \frac{R}{2\sqrt{\frac{L}{C} - \frac{R^2}{4}}}
 \end{aligned}$$

$$F(p) = \frac{U_0}{LC} \frac{1}{p(p^2 + p\frac{R}{L} + \frac{1}{LC})} \quad \bullet \circ \quad f(t) = \sigma(t) U_0 \left[1 - e^{-\beta t} \left(\cos(\alpha t) + \frac{\beta}{\alpha} \sin(\alpha t) \right) \right]$$

$$u_{20}(t) = f(t) + f(t - T) - 2f\left(t - \frac{T}{2}\right)$$

$$u_2(t) = \sum_{k=0}^{\infty} u_{20}(t - kT)$$

Aufgabe 11: RC-Schaltung, angeregt durch ein Schwingungspaket

11. a) **Übertragungsverhalten** $F(p) = \frac{U_2(p)}{U_1(p)}$ (leerer Energiespeicher)

$$\text{Spannungsteiler: } \frac{U_2(p)}{U_1(p)} = \frac{\frac{1}{pC}}{R + \frac{1}{pC}} = \frac{1}{1 + pCR}$$

Spannungsteiler, da Energiespeicher leer!

11. b) **Laplace-Transformierte** $U_1(p)$

$$\begin{aligned} U_1(p) &= \int_0^T \cos(w_0 t) e^{-pt} dt = \left[e^{-pt} \frac{1}{p^2 + w_0^2} (-p \cos(w_0 t) + w_0 \sin(w_0 t)) \right]_0^T \\ &= \frac{p}{p^2 + w_0^2} (1 - e^{-pT}) \end{aligned}$$

alternativ mit Korrespondenzen: $u_1(t) = (\sigma(t) - \sigma(t - T)) \cdot \cos(w_0 t)$

$$\sigma(t) \cos(w_0 t) - \sigma(t - T) \cos(w_0(t - T)) \quad \circ \bullet \quad \frac{p}{p^2 + w_0^2} (1 - e^{-pT})$$

11. c) **Laplace-Transformierte** $U_2(p)$

$$U_2(p) = \frac{\frac{1}{RC}}{\frac{1}{RC} + p} \frac{p}{p^2 + w_0^2} (1 - e^{-pT})$$

11. d) **Zeitfunktion** $u_2(t)$ (Partialbruchzerlegung)

Partialbruchzerlegung:

$$\frac{p}{\left(p + \frac{1}{RC}\right)(p^2 + w_0^2)} = \frac{A}{p + \frac{1}{RC}} + \frac{Bp + D}{p^2 + w_0^2}$$

Ermitteln von A:

$$\begin{aligned} p &= A(p^2 + w_0^2) + (Bp + D) \left(p + \frac{1}{RC}\right) \\ p &= -\frac{1}{RC} \quad \Rightarrow \quad -\frac{1}{RC} = A \left(\frac{1}{(RC)^2} + w_0^2\right) \quad \Rightarrow \quad A = -\frac{RC}{1 + (w_0 RC)^2} \end{aligned}$$

d.h.

$$\frac{Bp + D}{p^2 + w_0^2} = \frac{p}{\left(p + \frac{1}{RC}\right)(p^2 + w_0^2)} + \frac{\frac{RC}{1 + (w_0 RC)^2}}{p + \frac{1}{RC}} = \frac{p(1 + (w_0 RC)^2) + RC(p^2 + w_0^2)}{(1 + (w_0 RC)^2) \left(p + \frac{1}{RC}\right)(p^2 + w_0^2)}$$

Nun ist der Zähler durch $p + \frac{1}{RC}$ zu dividieren!

$$\frac{Bp + D}{p^2 + w_0^2} = \frac{RC}{1 + (w_0RC)^2} \cdot \frac{p + w_0^2RC}{p^2 + w_0^2} \quad \Rightarrow \quad B = \frac{RC}{1 + (w_0RC)^2}$$

$$\Rightarrow \quad D = \frac{w_0^2 R^2 C^2}{1 + (w_0RC)^2}$$

$$U_2(p) = \underbrace{\left[\frac{A}{p + \frac{1}{RC}} + \frac{B}{p^2 + w_0^2} p + \frac{D}{p^2 + w_0^2} \right]}_{F(p)} \frac{1}{RC} (1 - e^{-pT})$$

$$f(t) = \sigma(t) \cdot \frac{1}{RC} \left[A e^{-\frac{t}{RC}} + B \cos(w_0 t) + \frac{D}{w_0} \sin(w_0 t) \right] \quad \text{und} \quad u_2(t) = f(t) - f(t - T)$$

Aufgabe 12: Turbogenerator am Netz, verschiedene Betriebszustände

12. a) Polradspannung \underline{U}_p (Betrag und Phase)

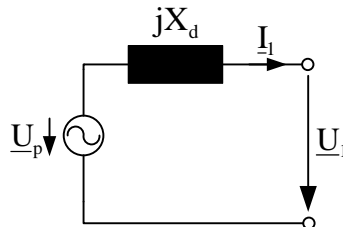


Abbildung 12.1: Ersatzschaltbild eines Turbogenerators

$$\underline{U}_1 = \frac{U_N}{\sqrt{3}} = 6062,18 \text{ V} e^{j0^\circ} \quad (\text{Phase gemäß Aufgabenstellung})$$

$$\cos \varphi_N = 0,8 \Rightarrow \varphi_N = 36,87^\circ ; \underline{S}_N = 150 \text{ MVA} e^{j36,87^\circ}$$

$$\Rightarrow \underline{I}_N^* = \frac{\underline{S}_N}{\sqrt{3} \underline{U}_N} \Rightarrow \underline{I}_N = 8247,87 \text{ A} e^{-j36,87^\circ}$$

$$\underline{U}_p = \underline{U}_1 + jX_d \underline{I}_1 = 6062,18 \text{ V} e^{j0^\circ} + 9732,48 \text{ V} e^{j53,13^\circ} = 14222,20 \text{ V} e^{j33,19^\circ}$$

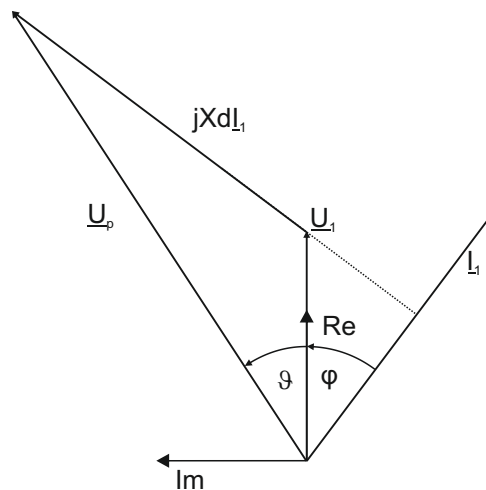


Abbildung 12.2: Zeigerdiagramm: 1cm $\hat{=}$ 2kV, 1cm $\hat{=}$ 2kA

12. b) **komplexe Scheinleistung**

$$\text{siehe a) } \underline{S}_N = (120 + j90) \text{ MVA} \Rightarrow P_1 = 120 \text{ MW} \quad \text{und} \quad Q_1 = 90 \text{ Mvar}$$

12. c) **komplexe Scheinleistung bei 75 % des ursprünglichen Drehmomentes**

$$M = \frac{P_1}{\Omega} \Rightarrow P_1 = 0,75 \cdot 120 \text{ MW} = 90 \text{ MW}$$

$$P_1 = \frac{3U_1 U_p}{X_d} \sin \vartheta \Rightarrow \vartheta = 24,24^\circ \quad (U_1, U_p \text{ unverändert})$$

$$S_1 = j \frac{3U_1}{X_d} (U_p (\cos \vartheta - j \sin \vartheta) - U_1) = (90 + j106,44) \text{ MVA}$$

 12. d) **komplexe Scheinleistung bei 75 % der ursprünglichen Polradspannung**

Polradspannung soll auf 75 % ihres Wertes sinken $\Rightarrow \hat{B}_L$ muss auf 75 % des ursprünglichen Wertes sinken $\Rightarrow I_e$ muss auf 75 % des ursprünglichen Wertes gesenkt werden.

$$|\underline{U}_p| = 0,75 \cdot 14222,20 \text{ V} = 10666,65 \text{ V}$$

$$\sin \vartheta = \frac{P_1 X_d}{3U_1 U_p} \Rightarrow \vartheta = 46,88^\circ \quad (X_d, U_1 \text{ unverändert})$$

$$(P_1 \text{ unverändert da } \Omega \text{ und } M \text{ unverändert})$$

$$\underline{S}_1 = j \frac{3U_1}{X_d} (U_p (\cos \vartheta - j \sin \vartheta) - U_1)$$

$$= (120 + j18,94) \text{ MVA} = 121,48 \text{ MVA } e^{j8,97^\circ}$$

Aufgabe 13: Turbogenerator am Netz, Nennbetrieb und Phasenschieberbetrieb

13. a) Polradspannung \underline{U}_p (Betrag und Phase)

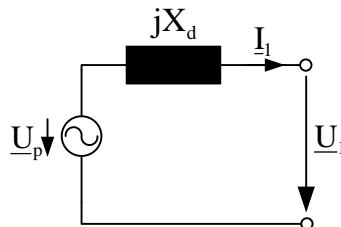


Abbildung 13.1: vereinfachtes Ersatzschaltbild eines Turbogenerators

$$\cos \varphi_N = 0,8 \Rightarrow \varphi_N = 36,87^\circ \quad \text{und} \quad \underline{U}_1 = \frac{U_N}{\sqrt{3}} = 6062,18 \text{ V}$$

$$\underline{I}_1^* = \frac{S_1}{3\underline{U}_1} \Rightarrow \underline{I}_1 = (5498,57 - j4123,93) \text{ A} = 6873,22 \text{ A } e^{-j36,87^\circ}$$

$$\underline{U}_p = \underline{U}_1 + jX_d \underline{I}_1 = 6062,18 \text{ V} + 10928,42 \text{ V } e^{j53,13^\circ} = 15351,89 \text{ V } e^{j34,71^\circ}$$

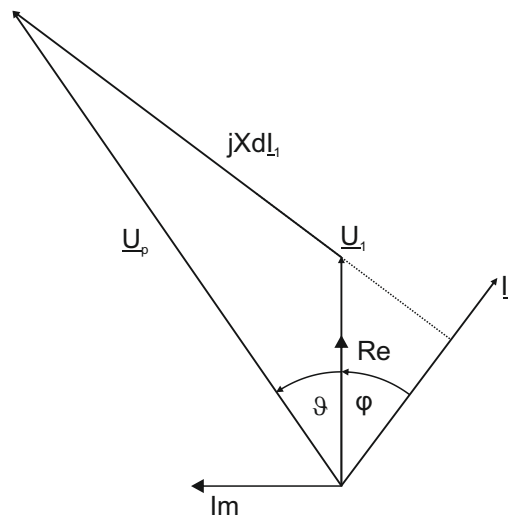


Abbildung 13.2: Zeigerdiagramm: 1cm $\hat{=}$ 2 kV, 1cm $\hat{=}$ 2 kA

13. b) Polradspannung \underline{U}_p (keine Abgabe von Blindleistung)

$$Q_1 = 0 \quad , \quad P_1 = \frac{3U_1 U_p}{X_d} \sin \vartheta \quad , \quad Q_1 = 3 \cdot \left[\frac{U_1 U_p \cos \vartheta}{X_d} - \frac{U_1^2}{X_d} \right]$$

$$P_1 = S_N \cdot \cos \varphi = 100 \text{ MW} \quad (\text{Drehzahl und Drehmoment bleiben unverändert.})$$

$$\begin{aligned} \Rightarrow \frac{U_1^2}{X_d} &= \frac{U_1 U_p \cos \vartheta}{X_d} \Rightarrow U_1 = U_p \cos \vartheta \\ \Rightarrow P_1 &= \frac{3U_1^2}{X_d} \tan \vartheta \Rightarrow \vartheta = 55,26^\circ \Rightarrow U_p = \frac{P_1 X_d}{3U_1 \sin \vartheta} = 10,64 \text{ kV} \\ \underline{I}_1 &= \frac{U_p - U_1}{jX_d} = 5498,57 \text{ A } e^{j0^\circ} \approx 5499 \text{ A} \end{aligned}$$

13. c) **Statorstrom bei Stabilitätsgrenze**

$\vartheta = +90^\circ$, P_1 unverändert

$$\underline{U}_p = \frac{P_1 X_d}{3U_1 \sin \vartheta} = 8742,73 \text{ V} \quad , \quad \underline{I} = \frac{U_p - U_1}{jX_d} = (5499 + j3813) \text{ A}$$

13. d) **induktive Blindleistung**

Phasenschieberbetrieb: $P = 0 \Rightarrow \vartheta = 0 \Rightarrow \varphi = +90^\circ$

$$Q_1 = 3 \cdot \left[\frac{U_1 U_p \cos \vartheta}{X_d} - \frac{U_1^2}{X_d} \right] = \frac{3U_1}{X_d} (U_p \cos \vartheta - U_1) = 106,26 \text{ Mvar}$$

13. e) **größte kapazitive Blindleistung**

$$\left. \begin{aligned} Q_1 < 0 \quad , \quad \vartheta \stackrel{!}{=} 0^\circ \\ Q_1 = 3 \cdot \left[\frac{U_1 U_p \cos \vartheta}{X_d} - \frac{U_1^2}{X_d} \right] \end{aligned} \right\} U_p < U_1$$

Q_1 minimal für $U_p = 0$

$$Q_1 = -3 \frac{U_1^2}{X_d} = -69,34 \text{ Mvar}$$

Aufgabe 14: Betrieb eines Drehstromtransformators

14. a) Nennströme auf Ober- und Unterspannungsseite

$$S_N = \sqrt{3}U_{1N}I_{1N} = \sqrt{3}U_{2N}I_{2N}$$

$$I_{1N} = 72,17 \text{ A}, \quad I_{2N} = 3608,4 \text{ A}$$

14. b) Wirkungsgrad

$$\text{Lastfaktor: } k = \frac{I}{I_N} = 1, \quad \eta = \frac{P_{ab}}{P_{zu}} = 1 - \frac{P_0 + k^2 P_k}{k S_N \cos \varphi + P_0 + k^2 P_k} = 0,985$$

14. c) größter Wirkungsgrad mit $\cos \varphi = 0,8$ (induktiv)

$$\eta = \frac{k S_N \cos \varphi}{k S_N \cos \varphi + P_0 + k^2 P_k}$$

$$\frac{d\eta}{dk} = \frac{S_N \cos \varphi (k S_N \cos \varphi + P_0 + k^2 P_k) - k S_N \cos \varphi (S_N \cos \varphi + 2k P_k)}{(k S_N \cos \varphi + P_0 + k^2 P_k)^2}$$

$$= \frac{S_N \cos \varphi (P_0 - k^2 P_k)}{\underbrace{(k S_N \cos \varphi + P_0 + k^2 P_k)^2}_{=\beta}} \stackrel{!}{=} 0$$

$$\Rightarrow k = \sqrt{\frac{P_0}{P_k}} = 0,379$$

$$\frac{d^2\eta}{dk^2} = S_N \cos \varphi \frac{\beta^2(-2k P_k) - \overbrace{(P_0 - k^2 P_k)}^{=0 \text{ für } k=\sqrt{\frac{P_0}{P_k}}} \cdot 2\beta(S_N \cos \varphi + 2k P_k)}{\beta^4} < 0 \Rightarrow \text{Maximum}$$

$$\eta = 1 - \frac{2P_0}{2P_0 + \sqrt{\frac{P_0}{P_k}} S_N \cos \varphi} = 0,99$$

14. d) Längsimpedanz (bezogen auf die 20 kV-Seite)

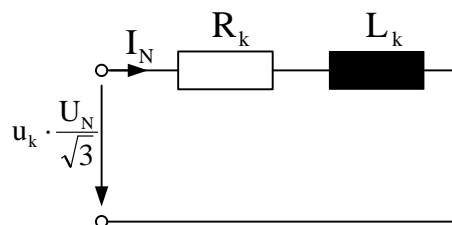


Abbildung 14.1: Ersatzschaltbild nur mit Längsimpedanzen

$$|\underline{Z}_k| = u_k \frac{U_N^2}{S_N} = 9,6 \Omega, \quad R_k = \frac{P_k}{3I_N^2} = 1,696 \Omega, \quad X_k = \sqrt{|\underline{Z}_k|^2 - R_k^2} = 9,45 \Omega$$

14. e) **Längsimpedanz (bezogen auf die 400 V-Seite)**

$$U_N = 400V \quad \Rightarrow \quad |\underline{Z}_k| = 3,84 \text{ m}\Omega \quad , \quad R_k = 0,6784 \text{ m}\Omega \quad , \quad X_k = 3,78 \text{ m}\Omega$$

Aufgabe 15: Betrieb eines Drehstromtransformators

15. a) Längsimpedanzen des Transformators

$$\underline{Z}_{k_1} = \underline{Z}_{k_2} = \underline{Z}_{k_3} = \underline{u}_k \cdot \frac{U_N^2}{S_N} = (u_{k,r} + ju_{k,x}) \cdot \frac{U_N^2}{S_N} = \underline{Z}_k$$

$$\underline{Z}_k = j32,27 \Omega$$

15. b) einphasiges Ersatzschaltbild (220-kV-Seite)

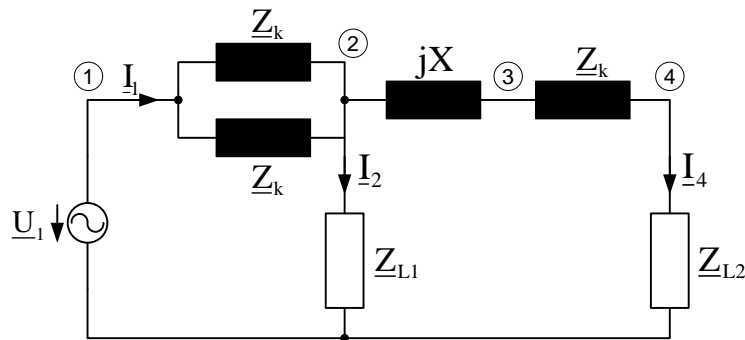


Abbildung 15.1: einphasiges Ersatzschaltbild bezogen auf die 220-kV-Seite

15. c) Spannung und Strom am Knoten 4 (220-kV-Seite)

$$\underline{U}_4 = \frac{220 \text{ kV}}{\sqrt{3}} \quad , \quad \underline{I}_4^* = \frac{S_4}{3\underline{U}_4} \quad \Rightarrow \quad \underline{I}_4 = (314,92 - j157,46) \text{ A} \quad (= \underline{I}_{4,220\text{kV}})$$

$$\left(\underline{I}_{4,30\text{kV}} = \underline{I}_{4,220\text{kV}} \cdot \frac{220}{30} = (2309,4 - j1154,7) \text{ A} \right)$$

$$\underline{U}_3 = \underline{U}_4 + \underline{Z}_k \underline{I}_4 = (132098 + j10161) \text{ V}$$

15. d) Strom \underline{I}_2 und Spannung \underline{U}_1

$$\underline{I}_2^* = \frac{S_2}{3\underline{U}_2} \quad , \quad \underline{U}_2 = \underline{U}_3 + jX \underline{I}_4 = (133043 + j12051) \text{ V}$$

$$\underline{I}_2 = (386,27 - j115,34) \text{ A} \quad , \quad \underline{I}_1 = \underline{I}_2 + \underline{I}_4$$

$$\underline{U}_1 = \underline{U}_2 + \frac{1}{2} \underline{Z}_k \underline{I}_1 = (137444 + j23364) \text{ V}$$

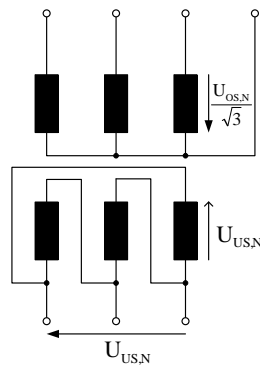
$$\left(\underline{U}_{1,10kV} = \underline{U}_{1,220kV} \cdot \frac{10}{220} = (6247 + j1062) \text{ V} \right)$$

15. e) Leistung \underline{S}_1

$$S_1 = 3 \cdot \underline{U}_1 \underline{I}_1^* = (270 + j161,63) \text{ MVA} \quad \Rightarrow \quad P_1 = P_2 + P_4$$

Aufgabe 16: Parallelschaltung von Transformatoren in einem Kraftwerk

16. a) Windungszahlverhältnis



$$\frac{U_{OS}}{\sqrt{3}} = \frac{w_{OS}}{w_{US}}$$

$$\text{AT01: } \frac{w_{OS1}}{w_{US1}} = 9,195$$

$$\text{AT02: } \frac{w_{OS2}}{w_{US2}} = 9,088$$

Abbildung 16.1: Transformator - (Stern-Dreieck)

16. b) Kurzschlussimpedanz

$$\underline{Z}_k = u_k \cdot \frac{U_{N,OS}^2}{S_N}$$

$$\text{AT01: } \underline{Z}_{k1} = j38,73 \Omega$$

$$\text{AT02: } \underline{Z}_{k2} = j30,91 \Omega$$

16. c) Einphasiges Ersatzschaltbild

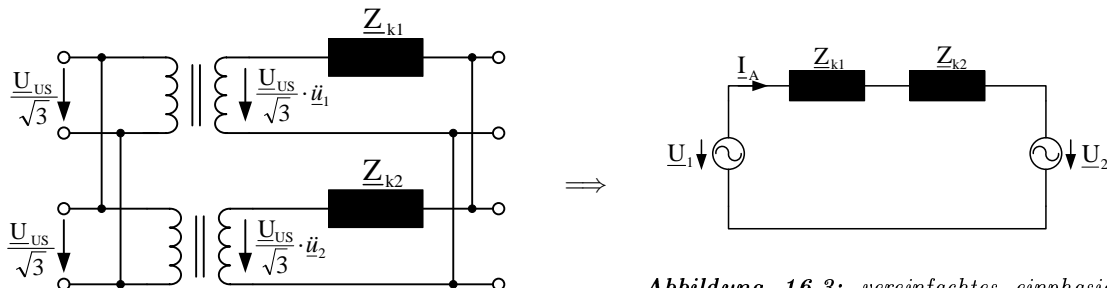


Abbildung 16.3: vereinfachtes einphasiges Ersatzschaltbild

16. d) Kreisstrom

$$\underline{I}_A = \frac{U_1 - U_2}{\underline{Z}_{k1} + \underline{Z}_{k2}} = \frac{\frac{U_G}{\sqrt{3}}(\underline{\ddot{u}}_1 - \underline{\ddot{u}}_2)}{\underline{Z}_{k1} + \underline{Z}_{k2}}$$

$$\begin{aligned} \text{YNd5} \Rightarrow \underline{U}_{OS} &= \underline{U}_{US} \cdot \ddot{u} \cdot e^{j \cdot 5 \cdot 30^\circ} \Rightarrow \underline{\ddot{u}} = \ddot{u} \cdot e^{j150^\circ} & \Rightarrow \underline{\ddot{u}}_1 &= \frac{430}{27} e^{j150^\circ} \\ & & \Rightarrow \underline{\ddot{u}}_2 &= \frac{425}{27} e^{j150^\circ} \end{aligned}$$

$$\underline{I}_A = 39,15 \text{ A } e^{j60^\circ}$$

16. e) **Verhältnis Kreisstrom zum Leiterstrom**
Betrachtung: nur AT01 in Betrieb

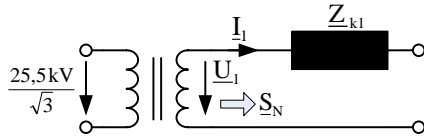


Abbildung 16.4: einphasiges Ersatzschaltbild AT01

$$|S_N| = 3 \cdot |U_1| |I_1| \quad ; \quad |U_1| = |\underline{u}_1| \cdot \frac{25,5kV}{\sqrt{3}}$$

$$|U_1| = 234,47kV \quad \Rightarrow \quad |I_1| = 1052,03A$$

$$\frac{|I_A|}{|I_1|} = 3,72\% \quad \Rightarrow \quad \text{nicht kritisch !}$$